

УДК 541(64+14):547.81

**ФОТОПЕРЕНОС ЭЛЕКТРОНА СО СПИРОПИРАНОВ НА СВЧ,
И ФОТООКРАШИВАНИЕ СПИРОПИРАНОВ В ПОЛИСТИРОЛЕ
ПРИ 77° К**

Холманский А. С., Зубков А. В.

Проведено исследование возможности фотоионизации спиропиранов и других диполов электрона в присутствии СВг₄ в матрице полистирола при 77° К. Установлено, что в ряде случаев при облучении светом образцов, содержащих добавку СВг₄, наблюдается появление в их спектре поглощения полосы с $\lambda_{\text{макс}}=490 \text{ нм}$. Эта полоса приписана спектру поглощения анион-радикала СВг₄. Выяснено, что эффективность фотоионизации спиропиранов в присутствии СВг₄ зависит от их структуры. Установлено, что соотношение эффективностей фотоокрашивания спиропиранов и их фотоионизации в присутствии СВг₄, а также зависимость этого соотношения от структуры удовлетворительно согласуются с представлениями о механизме фотохромных превращений спиропиранов, в основе которого лежит фотохимический внутримолекулярный перенос заряда.

В фотохимических процессах окрашивания материалов на основе спиропиранов (СП) важную роль играют имеющиеся в полимерной матрице добавки акцепторов электрона [1]. В частности, введение в матрицу наряду со СП еще и СВг₄ значительно снижало эффективность окрашивания СП под действием света при 77° К, а при комнатных температурах приводило к возникновению новой светочувствительной системы [2], особенностью которой является связывание молекул окрашенной формы СП бромистым водородом, образующимся при облучении системы, в так называемую соль спиропирана. В работах [1, 3] было высказано предположение о том, что первичный фотохимический акт фотохромных превращений СП может представлять собой внутримолекулярный фотоперенос электрона из индолиновой части молекулы в ее бензопирановую часть, приводящий к разрыву связи C_{спиро}—O. Это предположение позволяло объяснить [1] снижение эффективности окрашивания СП в системе, содержащей помимо СП еще и добавку акцептора электрона, возможным процессом межмолекулярного переноса электрона с молекулы СП на молекулу акцептора электрона, конкурирующим с внутримолекулярным переносом электрона. Таким образом, более детальное исследование процессов, имеющих место при облучении светом системы СП+СВг₄ в полимерной матрице, представляет интерес как с точки зрения получения новых данных, касающихся механизма фотохромных превращений в СП, так и для выяснения механизма образования соли СП и НВг.

Настоящая работа посвящена исследованию возможности фотопереноса электрона со спиропиранов на СВг₄, а также выяснению зависимости соотношения эффективностей процессов фотоионизации и фотоокрашивания СП от их структуры в матрице полистирола при 77° К.

Для исследований были выбраны следующие спиропираны: 1,3,3- trimetilspiro-(индолино-2,2'-(2'Н-1-нафтоциан)) (СП₁), т. пл. 180–181°; 1-фенил-3,3-диметил-6'-нитроспиро-(индолино-2,2'-(2'Н-1-бензопиран)) (СП₂), т. пл. 146–148°; 1-фенил-3,3-

диметил-8'-нитроспиро-(индолино-2,2'-(2'Н-1-бензопиран)) (СП₃), т. пл. 171–172°, 1,3,3- trimetil-6'-нитроспиро-(индолино-2,2'-(2'Н-1-бензопиран)) (СП₄), т. пл. 179–180° и 3,3-спироби-3Н-нафто-(2,1-в)-пиран (СП₅), т. пл. 251–252°.

В качестве модели индолиновой части было взято соединение * 1-фенил-2-метилен-3,3-диметилиндолин (ФИН), т. кип. 140° С/2 тор. В качестве доноров электрона использовали трифениламин (ТФА), т. пл. 126° С и поливинилкарбозол (ПВК), $T_c = -140\text{--}160^\circ\text{C}$. Акцептором электрона служил СBr₄, т. пл. 94–95° С. Пленки из сусペンзионного ПС с добавками получали по методике, описанной ранее [4]. Концентрации добавок варьировали в пределах 1–150 вес.%. Облучение образцов γ -лучами проводили на источнике Co⁶⁰. Спектры ЭПР регистрировали на спектрометре ЭПР «РЭ-1301», а спектры оптического поглощения – на спектрофотометре «VSU-2Р». Освещение образцов проводилось непосредственно в резонаторе спектрометра (рутная лампа «ДРШ-1000») или в измерительной ячейке спектрофотометра (рутная лампа «ПРК-4»). Из спектров излучения указанных ламп выделялся свет в требуемом интервале длин волн с помощью стеклянных светофильтров. Например, для инициирующего излучения выделяли практически монохроматический свет с длинами волн, соответствующими линиям рутного спектра $\lambda = 313,365\text{ нм}$. Облучение образцов γ -лучами, светом и регистрацию оптического поглощения и спектров ЭПР проводили при 77° К.

При облучении светом $\lambda = 365\text{ нм}$ систем ПС+СП₁+СBr₄ и ПС+СП₄+СBr₄ в их спектре поглощения появляется широкая полоса с $\lambda_{\max} = 490\text{ нм}$ (рис. 1, а). Эта полоса исчезает под облучением образца светом $\lambda > 450\text{ нм}$, в то время как освещение таким же светом образцов ПС+СП₁ и ПС+СП₄, предварительно облученных светом $\lambda = 365\text{ нм}$, не приводит к существенным изменениям в их спектрах поглощения. В спектре поглощения отбеленного образца ПС+СП₁+СBr₄ наблюдается полоса, принадлежащая окрашенной форме СП₁; ее интенсивность существенно меньше интенсивности соответствующей полосы поглощения образца ПС+СП₁, облученного светом $\lambda = 365$ при тех же условиях (рис. 1, а). В спектре поглощения образца ПС+СП₂+СBr₄, облученного светом $\lambda = 365\text{ нм}$, отсутствует полоса с $\lambda_{\max} = 490\text{ нм}$, полоса же с $\lambda_{\max} = 620\text{ нм}$ принадлежит в основном спектру поглощения окрашенной формы СП₂. Поскольку СBr₄ не поглощает свет $\lambda = 365\text{ нм}$, то облучение этим светом системы ПС+СBr₄ не приводит к каким-либо изменениям в спектре поглощения образца. Однако при облучении светом $\lambda = 313\text{ нм}$ системы ПС+СBr₄ в спектре поглощения появляется полоса с $\lambda_{\max} = 490\text{ нм}$, которая отбеливается светом не только $\lambda > 450\text{ нм}$, но и $\lambda = 365\text{ нм}$. Полоса поглощения с $\lambda_{\max} = 490\text{ нм}$ образуется также при облучении светом $\lambda = 365\text{ нм}$ систем ПС+ТФА+СBr₄, ПС+ПВК+СBr₄ и ПС+ФИН+СBr₄.

Для выяснения природы полосы поглощения с $\lambda_{\max} = 490\text{ нм}$ нами был проведен γ -радиолиз систем ПС+СBr₄, ПС+ТФА и ПС+ТФА+СBr₄. В отличие от спектра поглощения, который возникает при облучении системы ПС+ТФА+СBr₄ светом $\lambda = 365\text{ нм}$, облучение ее γ -лучами приводит к появлению в спектре помимо полосы с $\lambda_{\max} = 490\text{ нм}$ еще полосы поглощения с $\lambda_{\max} = 660\text{ нм}$ (рис. 1, б). Спектр поглощения γ -облученной системы ПС+СBr₄ подобен спектру поглощения, возникающему при облучении ее светом. Спектр поглощения γ -облученного образца ПС+ТФА имеет полосу поглощения с $\lambda_{\max} = 660\text{ нм}$, принадлежащую, как известно [5], к катион-радикалам ТФА⁺. Спектры поглощения всех трех γ -облученных систем отбеливаются под действием света $\lambda > 450\text{ нм}$. Сравнение интенсивностей полос с $\lambda_{\max} = 490$ и 660 нм в спектрах поглощения γ -облученных образцов ПС+СBr₄, ПС+ТФА и ПС+ТФА+СBr₄ показывает, что в случае последней системы интенсивности этих полос в 2–5 раз больше интенсивностей соответствующих полос поглощения двух первых образцов при пересчете оптических плотностей поглощения при $\lambda = 490$, 660 нм к равным дозам облучения, равным толщинам пленок и равным концентрациям добавок. Поскольку полоса с $\lambda_{\max} = 660\text{ нм}$ принадлежит катион-радикалу ТФА⁺, то исходя из факта симбатного увеличения интенсивностей полос

* Это соединение было синтезировано В. Д. Арсеновым, за что авторы выражают ему глубокую благодарность.

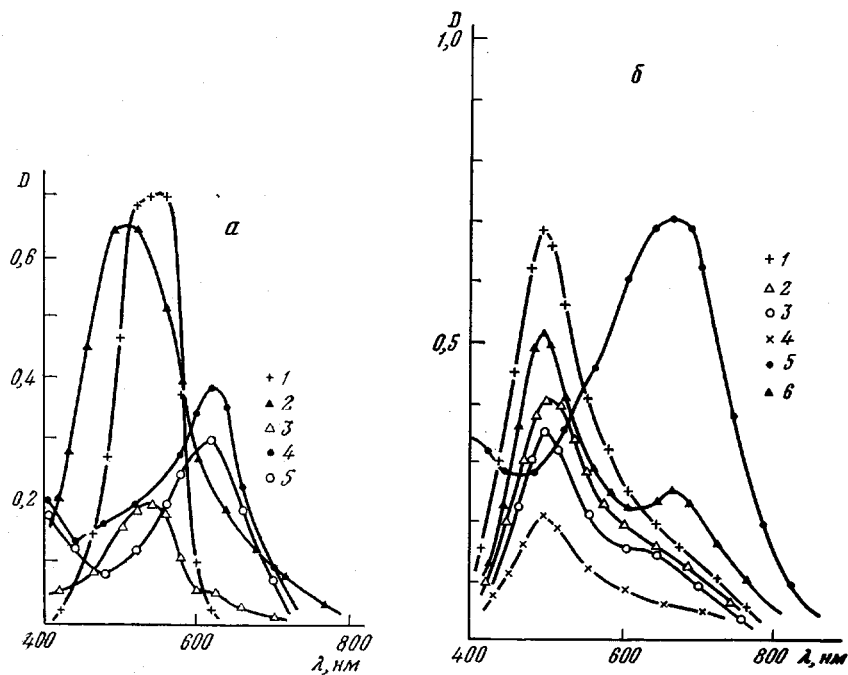


Рис. 1. Спектры поглощения образцов ПС с добавками, облученных светом и γ -лучами при 77°К

а: 1 — ПС+СП₁ (5 вес. %), $\lambda_{обл}=365$ нм; 2 — ПС+СП₁ (5 вес. %)+СBr₄ (50 вес. %), $\lambda_{обл}=365$ нм; 3 — тот же образец, отбеленный светом $\lambda>450$ нм; 4 — ПС+СП₂ (2 вес. %)+СBr₄ (150 вес. %), $\lambda_{обл}=365$ нм; 5 — тот же образец, отбеленный светом $\lambda>450$ нм; б: 1 — ПС+СBr₄ (1 вес. %), $\lambda_{обл}=313$ нм; 2 — ПС+ТФА (10 вес. %)+СBr₄ (10 вес. %), $\lambda_{обл}=365$ нм; 3 — ПС+ПВК (10 вес. %)+СBr₄ (10 вес. %), $\lambda_{обл}=365$ нм; 4 — ПС+СBr₄ (1 вес. %), $l=0,2$ мм, доза 0,6 Мрад; 5 — ПС+ТФА (1 вес. %), $l=1,6$ мм, доза 1,6 Мрад; 6 — ПС+ТФА (1 вес. %)+СBr₄ (1 вес. %), $l=0,3$ мм, доза 0,6 Мрад. l — Толщина образцов

с $\lambda_{\text{макс}}=490$ и 660 нм можно предположить, что полоса с $\lambda_{\text{макс}}=490$ нм принадлежит либо отрицательно заряженным частицам (наиболее вероятно анион-радикалам СBr₄^{·-}), либо частицам, возникающим при распаде последних (СBr₃[·], Br⁻). Полосы поглощения Br⁻ лежат в более коротковолновой области [6], что касается спектров поглощения СBr₃[·] и СBr₄^{·-}, то о них можно, по-видимому, судить исходя из аналогии со спектрами CCl₃[·] и CCl₄^{·-}. Известно [7], что длинноволновая граница спектра поглощения CCl₃[·] находится в области длин волн короче 360 нм, а спектр поглощения CCl₄^{·-} в изооктане имеет полосу с $\lambda_{\text{макс}}=490$ нм [8]. Поскольку СBr₄ и CCl₄ являются близкими по своим свойствам соединениями, облучение светом $280 < \lambda < 400$ нм при 77°К пленки, приготовленной из раствора ПС в CCl₄ непосредственно перед облучением, и, следовательно, содержащей в себе CCl₄, приводило к появлению полосы поглощения со значением $\lambda_{\text{макс}}$, близким к 490 нм, то можно полагать, что полоса с $\lambda_{\text{макс}}=490$ нм принадлежит спектру поглощения анион-радикала СBr₄^{·-}.

Таким образом, наличие полосы с $\lambda_{\text{макс}}=490$ нм в спектрах поглощения облученных светом $\lambda=365$ нм систем ПС+СП₁+СBr₄, ПС+СП₁+СBr₄, ПС+ТФА+СBr₄, ПС+ПВК+СBr₄ и ПС+ФИН+СBr₄ свидетельствует о том, что происходит фотоперенос электрона с СП₁, СП₄, а также с ТФА, ПВК и ФИН на СBr₄, причем эффективность этого процесса в данных системах такова, что позволяет накапливаться анион-радикалам СBr₄^{·-} в концентрациях, достаточных для регистрации его спектра поглощения. Наблюдение нами анион-радикала СBr₄^{·-} в спектре облученной светом $\lambda=365$ нм системы ПС+ПВК+СBr₄ согласуется с предположением об участии ПВК в образовании анион-радикала СBr₄^{·-} промежуточного про-

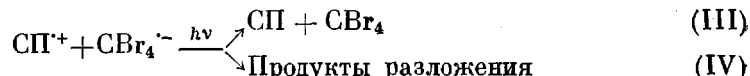
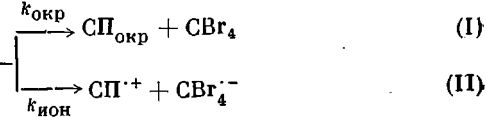
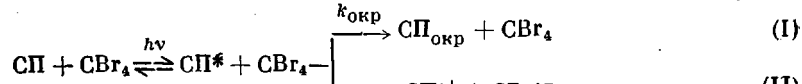
дукта в цепных реакциях, происходящих при облучении светом системы $\text{ПВК} + \text{СП} + \text{CBr}_4$ при комнатных температурах [2].

Поведение системы $\text{ПС} + \text{ФИН} + \text{CBr}_4$ под облучением как светом, так и γ -лучами было аналогично поведению системы $\text{ПС} + \text{TFA} + \text{CBr}_4$; это позволило идентифицировать полосу с $\lambda_{\max} = 660 \text{ нм}$, наблюдавшуюся в спектре поглощения γ -облученного образца $\text{ПС} + \text{ФИН} + \text{CBr}_4$, как полосу поглощения катион-радикала ФИН^+ . То, что в спектрах поглощения облученных светом систем $\text{ПС} + \text{TFA} + \text{CBr}_4$ и $\text{ПС} + \text{ФИН} + \text{CBr}_4$ не наблюдались полосы, соответствующие катион-радикалам TFA^+ и ФИН^+ , в спектрах поглощения этих систем, облученных γ -лучами, объясняется, по-видимому, вторичным действием света на катион-радикалы. Однако перегиб в области $\lambda = 660 \text{ нм}$ спектра поглощения образца $\text{ПС} + \text{ПВК} + \text{CBr}_4$, облученного светом $\lambda = 365 \text{ нм}$ (рис. 1, б), указывает на наличие полосы, принадлежащей либо катион-радикалам ПВК^+ , либо продуктам его фоторазложения. Выявление спектров поглощения катион-радикалов СП^+ в спектрах облученных светом образцов $\text{ПС} + \text{СП} + \text{CBr}_4$ затрудняется из-за вторичного действия света, а также из-за наложения на спектр полос поглощения, принадлежащих окрашенным формам СП. Отбеливание спектров образцов как облученных светом, так и γ -лучами под действием света $\lambda > 450 \text{ нм}$ (или $\lambda = 365 \text{ нм}$ в случае системы $\text{ПС} + \text{CBr}_4$) может быть объяснено исходя из того, что под действием видимого света происходит фоторазложение ион-радикалов, а также, возможно, имеет место рекомбинация ион-радикалов путем их миграции в матрице [4]. Тот факт, что ионизация доноров электрона идет при облучении светом с энергией кванта, меньшей чем потенциал ионизации донора, объясняется присутствием акцептора электрона [5].

Как отмечалось выше, облучение светом $\lambda = 365 \text{ нм}$ образца $\text{ПС} + \text{СП}_2 + \text{CBr}_4$ не приводит к появлению в его спектре поглощения полосы с $\lambda_{\max} = 490 \text{ нм}$, т. е. можно сказать, что в системе $\text{ПС} + \text{СП}_2 + \text{CBr}_4$ не происходит накопления анион-радикала CBr_4^- в заметных концентрациях при облучении ее светом. Несмотря на это, о возможности фотоионизации СП₂ в присутствии CBr_4 свидетельствуют следующие факты: во-первых, относительно системы $\text{ПС} + \text{СП}_2 + \text{a к ц е п т о р э л е к т р о н а}$ известно, что эффективность окрашивания снижается в присутствии в матрице в качестве акцептора электрона CBr_4 [1], если же акцептором электрона служит хлоранил, то, как показывают исследования методом ЭПР [9], происходит фотоперенос электрона с СП₂ на хлоранил; во-вторых, возникновение желтой окраски при размораживании предварительно облученного светом $\lambda = 365 \text{ нм}$ при 77°K образца $\text{ПС} + \text{СП}_2 + \text{CBr}_4$ указывает на наличие в облученной системе ионов Br^- , которые при разогревании образца образуют бромистый водород; последний затем взаимодействует с СП₂, при этом получается соль СП₂ с характерной полосой поглощения с $\lambda_{\max} = 420 \text{ нм}$. Br^- в облученной светом $\lambda = 365 \text{ нм}$ системе $\text{ПС} + \text{СП}_2 + \text{CBr}_4$ может появляться вследствие либо самопроизвольного распада анион-радикала CBr_4^- , либо его фоторазложения под действием света $\lambda = 365 \text{ нм}$; в-третьих, исследования методом ЭПР фотолиза светом $\lambda = 365 \text{ нм}$ при 77°K систем $\text{ПС} + \text{СП}_2$ и $\text{ПС} + \text{СП}_2 + \text{CBr}_4$ показали, что при облучении первой системы не обнаруживается каких-либо парамагнитных центров; при облучении в тех же условиях второй системы был зарегистрирован сигнал ЭПР, представляющий собой бесструктурный синглет с полушириной линии $\sim 13 \text{ э}$. Этот сигнал ЭПР представляет собой, по-видимому, суперпозицию сигналов от катион-радикалов СП^+ , радикалов CBr_3^+ и анион-радикалов CBr_4^- . На основании этих результатов можно сказать, что при облучении системы $\text{ПС} + \text{СП}_2 + \text{CBr}_4$ светом $\lambda = 365 \text{ нм}$ при 77°K происходит фотоперенос электрона с СП₂ на CBr_4 , но анион-радикал CBr_4^- не накапливается в концентрациях, достаточных для наблюдения его спектра поглощения, вследствие либо самопроизвольного его распада, либо фоторазложения. Фотоионизованный СП выбывает из процесса фотоокрашивания и под вто-

личным воздействием света претерпевает, по-видимому, необратимые превращения, что и приводит к снижению эффективности фотоокрашивания образца.

Таким образом, считая, что полоса $\lambda_{\max}=490 \text{ нм}$ принадлежит анион-радикалам $\text{CBr}_4^{\cdot-}$, на основании наших результатов можно предположить, что при облучении системы $\text{ПС}+\text{СП}+\text{CBr}_4$ светом $\lambda=365 \text{ нм}$ в ней будут протекать следующие процессы:



Здесь $\text{CPI}_{\text{окр}}$ — окрашенная форма СП, $k_{\text{окр}}$ — константа скорости реакции окрашивания, $k_{\text{ион}}$ — константа скорости реакции фотоионизации.

Поскольку эффективность процессов, приводящих к гибели $\text{CBr}_4^{\cdot-}$, по-видимому не зависит от того, какой СП используется в системе, то изменение скорости накопления $\text{CBr}_4^{\cdot-}$ в зависимости от структуры СП будет определяться в основном эффективностью реакции (II) и, следовательно, по скорости накопления $\text{CBr}_4^{\cdot-}$ можно оценивать эффективность фотоионизации СП. В том случае, когда при облучении системы $\text{ПС}+\text{СП}+\text{CBr}_4$ светом в ней не происходит накопления $\text{CBr}_4^{\cdot-}$, эффективность фотоионизации СП в присутствии CBr_4 можно оценить по степени снижения эффективности фотоокрашивания СП в присутствии CBr_4 . Действительно, при наличии конкурирующей реакции фотоионизации СП, зависимость концентрации окрашенной формы СП от времени примет вид

$$[\text{CPI}_{\text{окр}}] = \frac{k_{\text{окр}} \cdot [\text{СП}]_0}{k_{\text{окр}} + k_{\text{ион}}} [1 - e^{-(k_{\text{окр}} + k_{\text{ион}})t}], \quad (1)$$

где $[\text{СП}]_0$ — исходная концентрация спиропирана. Таким образом, из кинетических кривых окрашивания СП в присутствии CBr_4 и без него можно оценить величину $k_{\text{ион}}$ при известном значении $k_{\text{окр}}$. Для этого достаточно определить соотношение значений концентраций $\text{CPI}_{\text{окр}}$ на стационарных участках кинетических кривых.

Так, например, присутствие в полимере CBr_4 в количестве 10 вес.% приводило к снижению эффективности окрашивания образцов, содержащих СП₂ или СП₃, приблизительно на 50% (рис. 2). Присутствие CBr_4 в том же количестве в образце ПС+СП₂+ CBr_4 сказывалось на фотоокрашивании СП₄ только на начальном участке кинетической кривой окрашивания образца. Дальнейшее увеличение концентрации CBr_4 вплоть до 50 вес.% не приводило к существенному увеличению степени снижения эффективности окрашивания образцов с этими СП. Явление насыщения процесса снижения эффективности фотоокрашивания образцов ПС+СП₂+ CBr_4 и ПС+СП₃+ CBr_4 от концентрации CBr_4 характерно для процессов захвата электрона акцептором и не характерно для эффекта внешнего тяжелого атома [10]. Влиянием внешнего тяжелого атома на внутримолекулярные процессы деградации энергии электронного возбуждения СП нельзя объяснить также и тот факт, что добавка CBr_4 сказывается на фотоокрашивании СП более всего в начальные моменты времени, а в случае СП₄, когда кинетические кривые окрашивания образцов ПС+СП₂+ CBr_4 и ПС+СП₃+ CBr_4 выходят на стационарные участки, влияние CBr_4 на процесс фотоокрашивания СП₄ вообще становится не существенным (рис. 2).

Эти результаты, по-видимому, свидетельствуют о фотоионизационном механизме воздействия CBr_4 на фотоокрашивание СП. Влияние CBr_4 на процесс фотоокрашивания спироциранов нельзя объяснить темновыми реакциями взаимодействия CBr_4 со СП, поскольку в темновых условиях в растворе этилацетата не происходит химического связывания CBr_4 со СП, находящимся как в исходной, так и в окрашенной форме.

Таким образом, из сравнения кинетических кривых окрашивания образцов $\text{PC} + \text{СП}_2 + \text{CBr}_4$ и $\text{PC} + \text{СП}$ мы получаем, что эффективности фотоионизации СП_2 и СП_3 сравнимы с их эффективностями фотоокрашивания, а для СП_4 первая существенно ниже второй. Эффективности фотоионизации СП_1 и СП , в присутствии CBr_4 , оцененные по скорости нарастания оптической плотности поглощения при 490 нм в условиях полного поглощения света $\lambda = 365 \text{ нм}$ образцами, оказались близкими по значению. Квантовые выходы окрашивания индолиновых СП в полистироле при

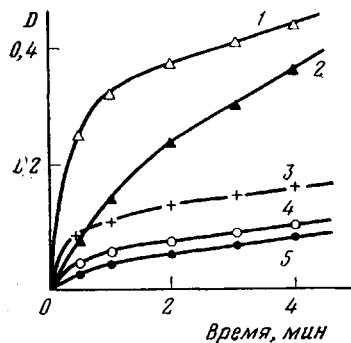


Рис. 2. Нарастание оптической плотности поглощения в максимумах полос поглощения окрашенных форм СП_3 и СП_4 (1 вес. %) под действием света $\lambda = 365 \text{ нм}$ при 77° в пленках ПС с добавками:

1 — $\text{PC} + \text{СП}_4$, $l = 13 \text{ мкм}$, $\lambda_{\max} = 610 \text{ нм}$; 2 — $\text{PC} + \text{СП}_4 + \text{CBr}_4$ (10 вес. %), $l = 14 \text{ мкм}$; 3 — $\text{PC} + \text{СП}_3$, $l = 13 \text{ мкм}$, $\lambda_{\max} = 650 \text{ нм}$; 4 — $\text{PC} + \text{СП}_3 + \text{CBr}_4$ (10 вес. %), $l = 13,5 \text{ мкм}$; 5 — $\text{PC} + \text{СП}_3 + \text{CBr}_4$ (50 вес. %), $l = 13,5 \text{ мкм}$

77°K можно оценить, воспользовавшись значениями коэффициентов экстинкции окрашенных форм СП $\varepsilon_b^{\lambda_{\max}}$, определенными нами в растворе в этилацетате. Эти оценки были сделаны для образцов ПС с добавками СП в количестве 0,1 вес. % и такой толщины, что весь инициирующий свет поглощался образцом. В этом случае для $\Phi_{окр}$ справедливо:

$$\Phi_{окр} = \frac{\Delta D}{I_0 \varepsilon_b^{\lambda_{\max}} \Delta t}, \quad (2)$$

где ΔD — изменение оптической плотности при λ_{\max} за время Δt , I_0 — интенсивность падающего света. Поскольку выражение (2) получается при пренебрежении световой реакцией обесцвечивания окрашенной формы СП (квантовый выход этой реакции на порядок меньше $\Phi_{окр}$ для подобных СП [11]), то для получения истинного значения $\Phi_{окр}$ необходимо экстраполировать отношение $\Delta D / \Delta t$ к начальному моменту времени. Для СП_2 , СП_3 и СП_4 значения $\varepsilon_b^{\lambda_{\max}}$ в этилацетате равны $3,2 \cdot 10^4$, $4 \cdot 10^4$, $4,2 \cdot 10^4 \text{ л/моль}\cdot\text{см}$ соответственно [12]. Для СП_1 в растворе этилацетата значение $\varepsilon_b^{\lambda_{\max}}$, определенное нами, равно $5,3 \cdot 10^4 \text{ л/моль}\cdot\text{см}$. Воспользовавшись этими значениями и формулой (2), мы получим следующие величины $\Phi_{окр}$ для СП_1 — СП_4 под действием света 365 и 313^* нм: $0,02$ (0,02); $0,06$ (0,03); $0,03$ (0,02) и $0,1$ (0,05) соответственно. Величина $\Phi_{окр}$ для СП_2 , определенная в приближении тонкого оптического слоя [12] в ПС при 77°K , также была близка к значению 0,06, а для СП_4 она удовлетворительно согласуется со значением $\Phi_{окр}^{365} = 0,07$ [13], определенным в ПММА при 75°K , если учесть, что $\Phi_{окр}^{365}$ уменьшается с ростом полярности среды [11]. Сопоставляя значения $\Phi_{окр}$ и эффективности фотоионизации СП в присутствии CBr_4 под действием света $\lambda = 365 \text{ нм}$, мы получим следующий каче-

* Значения $\Phi_{окр}^{313}$ приведены в скобках.

ственный результат: чем выше эффективность фотоокрашивания СП, тем ниже эффективность его фотоионизации.

Полученные результаты можно объяснить на основании рассмотрения природы электронных переходов в СП и привлекая представления о механизме фотоокрашивания СП. Относительно природы электронных переходов в индолиновых СП известно, что фотохимически активный переход локализован в основном в бензопирановой части СП и имеет полосу поглощения в длинноволновой части спектра поглощения исходной формы СП [11, 13–15]. По своей природе фотохимически активный переход является в общем случае переходом типа $\pi l \rightarrow \pi^* \pi_n^*$ [12, 16] и представляет собой линейную комбинацию одноэлектронных переходов типа $\pi = \pi^*$, $l = \pi^*$ и $\pi = \pi_n^*$ [16] (в последних двух переходах электрон перемещается от гетероатома кислорода на бензопирановый цикл и с бензопиранового цикла на орбиталь π_n^* электроноакцепторного заместителя соответственно). Возбуждение перехода $\pi l \rightarrow \pi^* \pi_n^*$ приводит к увеличению положительного заряда на гетероатоме кислорода и ослаблению связи $C_{\text{спиро}}-\text{O}$. Относительно последующего перераспределения энергии электронного возбуждения по колебательным степеням свободы молекулы известно [16], что энергия электронного возбуждения в первую очередь преобразуется в энергию активных внутримолекулярных колебаний, которая затем перераспределяется по другим колебательным степеням свободы молекулы и матрицы. Активные колебания представляют собой колебания, локализованные в определенных группах атомов (например, $>\text{C}=\text{O}$; $-\text{O}-\text{H}$) и являются, в частности, теми каналами, по которым осуществляется селективная фотодиссоциация в молекуле [16]. В случае СП активными колебаниями следует предположить колебания гетероатома кислорода. Это предположение согласуется с тем фактом, что возбуждение, например, асимметричных колебаний $-\text{C}-\text{O}-\text{C}-$ приводит с большей вероятностью к разрыву связи $C_{\text{спиро}}-\text{O}$, чем возбуждение каких-либо других колебаний в возбужденном состоянии СП [17].

Таким образом механизм разрыва связи $C_{\text{спиро}}-\text{O}$ можно представить в следующем виде: в результате электронного перехода в бензопирановой части СП происходит такое перераспределение электронной плотности, при котором в той или иной степени увеличивается положительный заряд на гетероатоме кислорода и связь $C_{\text{спиро}}-\text{O}$ поляризуется; в последующем процессе деградации электронной энергии по колебательным степеням свободы с предпочтением частот, соответствующих активным колебаниям, происходит разрыв связи $C_{\text{спиро}}-\text{O}$. Интересно, что аналогичный механизм фотохимического разрыва соответствующей связи $\text{C}-\text{O}$ можно предложить и для хроменов, которые, как известно [17], обладают фотохромизмом.

Такая трактовка механизма фотохимического разрыва связи $C_{\text{спиро}}-\text{O}$ в спиропиранах позволяет объяснить зависимости эффективностей фотоокрашивания и фотоионизации СП от их структуры. Действительно, при наличии электроноакцепторного заместителя в бензопирановой части СП (нитрогруппы) увеличивается интенсивность фотохимически активного перехода, что приводит к увеличению эффективности фотоокрашивания СП₂, СП₃ и СП₄ по сравнению с СП₁ и соответственно уменьшает вероятность отщепления электрона от молекул этих СП с переносом его на СBr. Снижение величины $\Phi_{\text{окр}}^{313}$ по сравнению с $\Phi_{\text{окр}}^{366}$ для СП₂, СП₃ и СП₄ объясняется, вероятно, тем, что свет $\lambda=313 \text{ нм}$ возбуждает в основном уже не фотохимически активный переход, максимум полосы поглощения которого находится для спиропиранов типа СП₂ в районе 350 нм [14]. На колебательных уровнях электронных состояний СП с большей энергией, чем энергия фотохимически активного состояния, будет также происходить разрыв связи $C_{\text{спиро}}-\text{O}$ (об этом свидетельствует сильная конкуренция фотохимических процессов с внутренней конверсией в S_2^* -состоянии СП₁.

[17]), в результате чего образуется сначала промежуточное состояние, из которого молекула может как вернуться в исходное состояние, так и образовать окрашенную форму СП [17]. По-видимому, при возбуждении не активных фотохимически переходов образование окрашенной формы СП идет с меньшей вероятностью ввиду отсутствия необходимого для стабилизации окрашенной формы перераспределения электронной плотности.

Этим, вероятно, объясняется и тот факт, что $\Phi_{окр}^{818}$ и $\Phi_{окр}^{385}$ одинаково малы для СП₁ по сравнению с соответствующими величинами для СП с нитрогруппой, а именно тот и другой свет возбуждают в основном переходы $\pi-\pi^*$, поскольку относительный вклад $l\pi^*$ -состояний для нафтоциранового цикла заметно снижается по сравнению с бензоцирановым [16].

Равенство эффективностей фотоионизации СП₁ и СП₅ в присутствии СBr₄ свидетельствует, по-видимому, о том, что в СП₁ ионизуется нафтоцирановый фрагмент молекулы. Поскольку процесс фотоокрашивания спироциранов типа СП₂, СП₃, СП₄ осуществляется в основном через триплетное состояние как в растворе при комнатной температуре [14], так и в полимерной матрице в диапазоне от 300 до 75°К [13], то ввиду большого времени жизни триплетного состояния по сравнению с синглетным, а также на основании того, что полоса фотохимически активного перехода в этих СП заметно больше по своей интенсивности полосы в соответствующем хромене [14] (последнее свидетельствует о взаимодействии индолиновой и бензоцирановой частей СП), можно предположить, что фотоионизация СП, содержащих нитрогруппу в бензоцирановой части, в присутствии СBr₄ представляет собой отщепление электрона от гетероатома азота индолиновой части СП в его триплетном состоянии и перенос электрона на СBr₄.

Изложенное выше результатам не противоречит детализация перераспределения электронной плотности в результате возбуждения фотохимически активного перехода, предложенная ранее [1] и подразумевающая внутримолекулярный перенос электрона из индолиновой части СП в бензоцирановую часть с нитрогруппой в качестве заместителя.

Авторы благодарят И. Г. Батехе за внимание к работе и обсуждение ее результатов, Е. А. Кузьмину за помощь при подготовке эксперимента.

Научно-исследовательский институт
органических полупродуктов
и красителей

Поступила в редакцию
29 VI 1978

ЛИТЕРАТУРА

1. А. В. Зубков, А. С. Холманский, Докл. АН СССР, 229, 377, 1976.
2. G. I. Smets, I. Thoen, A. Aerts, J. Polymer Sci., Polymer Symp., 1975, 51, 119.
3. Д. Н. Шигорин, Ж. физ. химии, 44, 2681, 1970.
4. А. Т. Корицкий, А. В. Зубков, Химия высоких энергий, 2, 544, 1968.
5. А. Н. Теренин, Фотоника молекул красителей и родственных органических соединений, «Наука», 1967.
6. Н. М. Бажин, В. М. Бердников, В сб. Свободно-радикальные состояния в химии, «Наука», 1972.
7. R. V. C. Claridge, R. M. Tyer, J. E. Willard, J. Phys. Chem., 71, 352, 1967.
8. Э. М. Косовер, В сб. Новые проблемы физической органической химии, «Мир», 1969.
9. А. В. Зубков, А. С. Холманский, А. Т. Корицкий, Химия высоких энергий, 4, 381, 1977.
10. Х. С. Багдасарьян, Двухквантовая фотохимия, «Наука», 1976.
11. R. C. Bertelson, Photochronism., ch. 2, N. Y., 1971.
12. А. С. Холманский, А. В. Зубков, Докл. АН СССР, 239, 908, 1978.
13. D. A. Reeves, F. Wilkinson, J. Chem. Soc. Faraday Trans., 2, 1381, 1973.
14. P. Appriou, R. Giglielmetti, F. Garnier, J. Photochem., 8, 145, 1978.
15. Г. И. Лашков, А. В. Шабля, Изв. АН СССР, серия химич., 32, 1569, 1968.
16. Д. Н. Шигорин, Ж. физ. химии, 51, 1894, 1977.
17. N. W. Tyer, Jr. R. S. Becher, J. Amer. Chem. Soc., 92, 1289, 1295, 1970.

**PHOTOTRANSFER OF ELECTRON FROM SPIROPYRANES TO CBr₄
AND PHOTOCOLORATION OF SPIROPYRANES IN POLYSTYRENE AT 77° K**

Kholmansky A. S., Zubkov A. V.

S u m m a r y

The investigation of a possibility of the photoionization of spiropyranes and another electron donors has been carried out in the presence of CBr₄ in a polystyrene matrix at 77° K. It has been found that in many cases of light irradiation of the specimens containing a CBr₄ additive the appearance in their spectrum a band with $\lambda_{\text{max}}=490$ nm is observed. This band is attributed to the CBr₄ anion-radical absorption spectrum. It has been found that efficiency of the photoionization of spiropyranes in the presence of CBr₄ depends on their structure. It has also been found that the relation of the photocoloration of spiropyranes and their photoionization in the presence of CBr₄, as well as the dependence of this relation on the structure of spiropyranes, are in a sufficient agreement with the views about the mechanism of spiropyrane photochrome transformations. The photochemical intramolecular transfer is the reason for the latter.
